

航空写真と模型実験による某湾汚染の予知実験

京都大学工学部紀生工学教室 岩井 重輝
京都大学工学部紀生工学教室 井上 重輝

同 防災研究所 福口 明生

最近の我が国工業の急速な伸びに伴って、工場の新設、拡張が盛んに行なわれてゐるが、多くは工業立地の観点から、海面埋立により工場敷地を獲得してゐる。このような工場群は、廢水、廢気により附近の環境を汚染させることはあつたまゝで、海面埋立によって際してはあらかじめ汚染の程度を推定して、工場立地に先立って公害防除対策を立てておくことが望ましい。ところがこのような型の汚染は、埋立等による海岸線の変化があつたまゝで、現在の海の汚水拡散率を測定することはむずかしく、将来を推定することは困難である。もし汚水の拡散輸送状態を示す基礎式と海底の地形、粗度、海岸線の形状などの境界条件を考慮に入れて解くことが可能ではあるが、理論的に将来水質を推定することは可能であるが、前論文¹⁾に述べたように、現在では電子計算機の力を借りて、ごく单纯な場合についてのみ解をうるこことができるのである。ところで海岸線の変化にむづく附近海面の将来水質の変化の推定は、模型実験に頼らざるを得ない。しかし模型実験にも理論的に限度があり、必ずしも原型海面で起こつてゐる現象を、必ずしも模型が再現することは限らない。このため、まず「現状」の海岸線を有する模型をつくり、模型における汚水の輸送および拡散が現実の湾の水流に合致するかどうかを確かめ、ついで模型に埋立地を附加して汚染状態の変化を観測する。

1. 概説

O湾は図-1に示すように長さ約90km、巾約18km、平均水深約20mで、底質は泥土よりなる。湾奥には丁寧が流れ淡水源となつてゐる。またこの地域一帯は我が国でも有数の潮差の大さい地域で、満潮位と干潮位の差が“4m”以上であるからではない。この湾には大きな農田があり、現在も多くの高粱を産出し、附近には豊富な石炭を利用し、石炭化学工業が発達している。二ヵ化學工場は1日15~20万m³の廢水を中和、沈殿せしめ以後、O川を通じて海に放流してあり、附近海面は、かなり古くから汚染されてゐる。一方海岸一帯は重要な海苔の産地として知られ、年間約4億円の産額である。工場廢水はこれら海苔(藻)の中を流れ込み、海苔のがん病(癌腫病)や苦味アリ病が発生し、ますます紛争がひえばかり。汚水の拡がりと、海苔、及ぼす癌病域分布とは図-2のようなくらいであるといふ。一方、附近一帯が新産業都市を目指

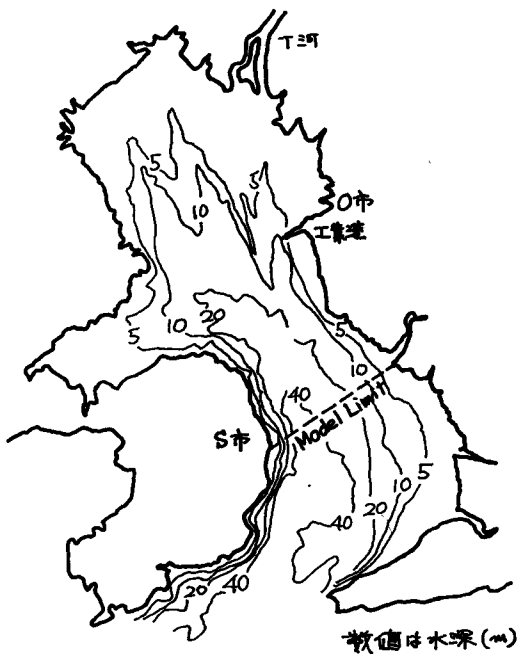


図-1 O市附近海図

定されたため海岸を埋立工場地帯をつくり、工業港を拡張する計画が存在し、これが図-2 に示す水産物被害域を変化させたのが懸念される。そこで、埋立および工業港拡張に伴う附近海面汚染域の変化を知る目的で、実測を行なった。

2. 野外観測

(1) 実験方法

現在の汚水の拡散状況を知るために、海域に色素を投入し、その輸送および拡散の状況をセナス機による航空写真にてとらえ、採水船により採水し、観測した。使用色素としては、ウラニン、ロダミンB等を検討した。ウラニンは太陽光線で還色する欠点があるが、吸着されにくく、かつ水によく溶け、前実験¹⁾で引続で使用した。投入方法は約50ℓ入りのボリバケツ中に入らかじめ真水に溶解させ、これを漁船で投入筒に墨んで、なるべく静かに海中に投入した。航空写真の結果を解析する場合、色素の見えなくなる時間より重要な意味をもっており、これは色素投入量に關係有りために、投入量は慎重に決定する必要があった。そこで予備実験の後、これを20 kgと決定した。20 kg 投入した場合、色素の見えなくなるまでの時間は投入後3~4時間である。航空写真では深さ方向の拡散を正確につかめないので、採水船により、色素 cloud の濃度最大点を基準より1 m 間隔で色素が検出できなくなるまで採水し、これを定量した。なお船上より色素最高濃度点を判別するのは困難であるが、ヘリコプターにより採水船を誘導した。投入地點、投入時刻を図-3 に示す。なお採水船の位置は地上よりトランシットで追った。実験当日の潮位は表-1 に示す。航空写真是セナス 175 単眼単葉を用い、飛行速度100 km/時、高度400 m より、航空写真用広角カメラ(90°, F 4.5 38 mm, フィルムは6 mm × 6 mm判)を用いて撮影した。

現像カラー写真的縮尺は約1/7800である。写真位置を示すために航行は一定

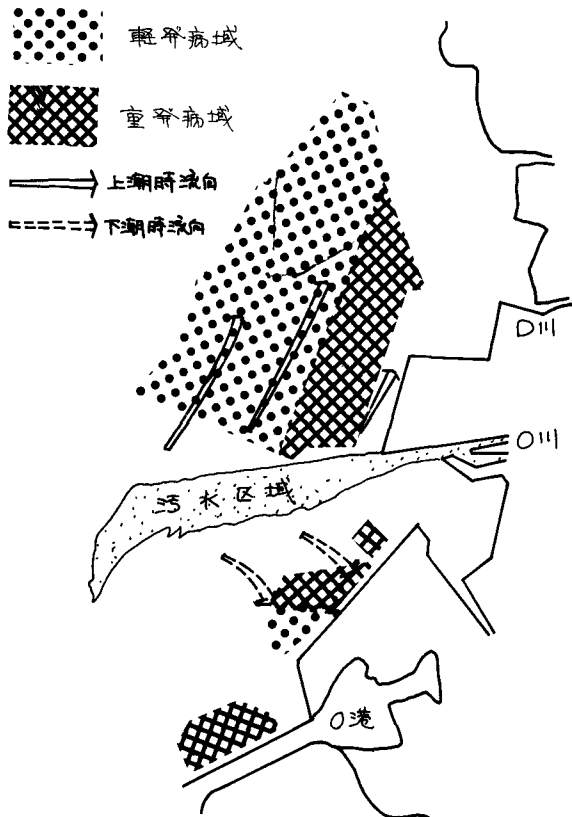


図-2 汚水拡散状況と貝の発病域

表-1 昭和41年3月における潮位

日	干潮	日出	満潮	干潮	日没	満潮
3月23日	4.00時 分	6.19時 分	10.09時 分	16.18時 分	18.32時 分	22.24時 分
24日	4.30	6.17	10.33	16.43	18.33	22.52
25日	4.58	6.16	10.56	17.09	18.33	23.20

方向に航行をしめ、また縮尺を出
すために地図上2箇所、50m間
のとの標識を立てた。色素移動状
況を図-3に示す。航空写真は力
ラーゼーはいと色素の判別が困難な
ため、本論文には添付せず、参考
当日スライドで見る見せしたい。な
お、参考のために実験当日の潮流
潮流、風向、風速が測定され、
浮標追跡もなされた。

(2) 実験結果および考察

前論文より述べたように、海中
に汚染物あるいは投入されたときの
拡散輸送を本式として、(1)式が
あらわされる。

$$\frac{\partial C}{\partial t} = \frac{\partial}{\partial x} (D_x \frac{\partial C}{\partial x}) + \frac{\partial}{\partial y} (D_y \frac{\partial C}{\partial y}) + \frac{\partial}{\partial z} (D_z \frac{\partial C}{\partial z}) \quad \dots \dots (1)$$

ここで浮標軸は海流と垂直に移動
する移動浮標とし、海流の方向を
x軸、鉛直下向きz軸をとる。D_x
, D_y, D_zはx, y, z 方向の拡
散係数、Cは汚染物または色素の
濃度とする。M量の色素を海中の1点に投入して、D_x, D_y, D_zを- πv^2 constantと考
えると解は

$$C = \frac{M}{4(\pi t)^{3/2} \sqrt{D_x D_y D_z}} \exp \left\{ -\frac{1}{4t} \left(\frac{x^2}{D_x} + \frac{y^2}{D_y} + \frac{z^2}{D_z} \right) \right\} \quad \dots \dots (2)$$

となる。航空写真より拡散係数を求める場合、色素の可視限界を利用すれば、この可視限界を色素濃
度Cとすると、あるいは色素の深さ方向の積分値 $S = \int_0^\infty C dz$ と比較により、解釈に多少の差
異を生ずる。経験によれば、水中に沈着が多く、透視度の低い所は前者をとった方がよし、透明度
の水域の研究には後者を採用した方が良いようである。前者についてはすでに前論文で理論的考察
を行なっており、またA川²⁾³⁾、琵琶湖⁴⁾に対する適用例を発表している。ここでは後者について
い。(2)式を積分すれば、

$$S = \int_0^\infty C dz = \frac{M}{4\pi t \sqrt{D_x D_y}} \exp \left\{ -\frac{1}{4t} \left(\frac{x^2}{D_x} + \frac{y^2}{D_y} \right) \right\} \quad \dots \dots (3)$$

時間と共に図-4のように色素の拡がりが見られるところを、



図-3 染料域の運動

$$\frac{M}{4\pi t_1 \sqrt{D_x D_y}} e^{-\frac{x_1^2}{4t_1 D_x}} = \frac{M}{4\pi t_1 \sqrt{D_x D_y}} e^{-\frac{y_1^2}{4t_1 D_y}}$$

より

$$\frac{D_x}{D_y} = \left(\frac{x_1}{y_1} \right)^2 \quad \dots \dots (4)$$

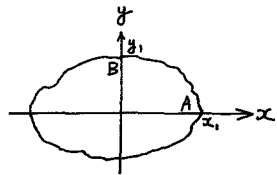


図-4 漆料域の拡散

時間 t_2 における要素の拡がり x_2, y_2 を求めると x_1, y_1 を組合せて理論的に D_x, D_y を求めようとする。精度が高いので、要素集団の可視域が最大となる時間 t_{max} 又は見えなくなる時間 t_0 より拡散係数を求める。 t_0 の関係には(3)式より、

$$\frac{M}{4\pi t_0 \sqrt{D_x D_y}} e^{-\frac{x_1^2}{4t_0 D_x}} = \frac{M}{4\pi t_0 \sqrt{D_x D_y}}$$

より

$$D_x = \frac{-x_1^2}{4t_0 \ln \frac{t_0}{t_1}} = \frac{x_1^2}{4t_0 \ln \frac{t_0}{t_1}} \quad \dots \dots (5)$$

(5)式より D_x が半分となり、また(4)式と組合せて D_y が半分となる。(5)式より x 方向 a cloud 径の $\sqrt{2} z$ と x' は

$$x' = \sqrt{4D_x t \ln \frac{t_0}{t_1}}$$

t_{max} のとき、 $\frac{dx'}{dt} = 0$ とするとから、 $t_0 = et_{max}$ (6)は3次元体が得られる。したがって、(5)式より t_0 の代り et_{max} を用いて計算。航空写真より、3月24日午前10時30分、0川河口に20 kg のウラニンを投入してその拡散係数 D_x, D_y を、同日13時30分に沖合に20 kg のウラニンを投入して際の D_x, D_y の計算を表-2、表-3 にてある。なお海水に対する要素の比色定量により拡散係数は

$$D = \frac{M}{4\pi t d C_{max}}$$

であるから(5)式、その計算結果を各々の場合にて表-4、表-5 にてある。ここで d は混合深さで要素濃度が 0.2 ppm であることを深さを表す。

表-2 航空写真による拡散係数の推定

ウラニン 20 kg を3月24日10時30分河口に投入。要素の消滅は13時30分。 $t_0 = 3$ 時間 = 10800 sec

測定番号	時間	t_1 (sec)	x_1 (cm)	y_1 (cm)	$\frac{t_0}{t_1}$	$\ln \frac{t_0}{t_1}$	$4t_1 \ln \frac{t_0}{t_1}$	D_x (m^2/sec)	(y/x_1)	$(y/x_1)^2$	D_y (m^2/sec)
1-2	10.31	60	1.48×10^3	8.58×10^2	180	5.2	1.25×10^4	1780	0.58	0.182	324
1-3	10.47	1020	1.25×10^4	3.51×10^3	10.6	2.36	9.69×10^3	1.62×10^4	0.282	0.0887	1440
1-5	11.03	1980	2.26×10^4	9.75×10^3	54.7	1.70	1.35×10^4	3.77×10^4	0.632	0.162	6100
1-6	11.15	2760	2.03×10^4	8.58×10^3	3.92	1.37	1.51×10^4	2.72×10^4	0.423	0.133	3630
1-7	11.30	3600	2.85×10^4	8.47×10^3	3.00	1.10	1.58×10^4	5.14×10^4	0.315	0.099	5100
1-8	11.45	4500	3.58×10^4	9.36×10^3	2.40	0.875	1.58×10^4	8.12×10^4	0.261	0.082	6670
1-9	12.00	5400	4.52×10^4	1.41×10^4	2.00	0.674	1.50×10^4	1.36×10^4	0.310	0.0975	13300

表-3 航空写真による拡散係数の推定

ウラニン 20 kg を3月24日13時30分、河口沖に投入。要素の消滅は18時30分。 $t_0 = 18000$ sec

測定番号	時間	t_1 (sec)	x_1 (cm)	y_1 (cm)	$\frac{t_0}{t_1}$	$\ln \frac{t_0}{t_1}$	$4t_1 \ln \frac{t_0}{t_1}$	D_x (m^2/sec)	(y/x_1)	$(y/x_1)^2$	D_y (m^2/sec)
2-3	13.95	1320	3.97×10^3	2.81×10^3	18.4	2.63	1.39×10^4	5.76×10^3	0.313	0.0983	566
2-8	14.01	1860	1.87×10^4	3.32×10^3	9.69	2.27	1.69×10^4	2.06×10^4	0.177	0.0644	1320
2-13	14.17	2820	3.20×10^4	5.46×10^3	6.38	1.85	2.08×10^4	4.90×10^4	0.171	0.0537	2630

2-17	14.29	3570	2.88×10^4	4.68×10^3	5.03	1.63	2.32×10^4	3.57×10^4	0.162	0.0506	1800
2-23	15.01	5460	2.84×10^4	10.13×10^3	3.30	1.19	2.57×10^4	3.12×10^4	0.398	0.123	2830
2-27	15.16	6390	2.92×10^4	11.7×10^3	2.81	1.06	2.71×10^4	3.15×10^4	0.400	0.16	5040
2-32	15.32	7350	3.03×10^4	11.7×10^3	2.45	0.95	2.63×10^4	3.48×10^4	0.385	0.121	4210
2-37	15.46	8190	2.27×10^4	7.02×10^3	2.20	0.79	2.59×10^4	1.99×10^4	0.310	0.0973	1940
2-47	16.17	10950	1.95×10^4	6.63×10^3	1.64	0.495	2.17×10^4	1.75×10^4	0.340	0.107	18300

表-4 排水比色による拡散係数の推定

3月24日10時30分 ユラニン20 kgを河口に投入した場合

C_{max} (ppm)	t (sec)	d (cm)	$4\pi C_{max}td$	D (cm^2/sec)
2.05	900	300	6.93×10^6	2.89×10^3
0.40	1800	200	1.86×10^6	1.08×10^4
0.40	2700	100	1.36×10^6	1.47×10^4

表-5 排水比色による拡散係数の推定

3月24日13時30分 ユラニン20 kgを河口沖に投入した場合

C_{max} (ppm)	t (sec)	d (cm)	$4\pi C_{max}td$	D (cm^2/sec)
0.75	1200	300	3.37×10^6	5.91×10^3
0.47	2100	300	3.71×10^6	5.40×10^3

一見、2つの方法で求めた拡散係数には大きな差異があるよう見えますが、この係数は正確に求めることは難しく、Orderで“多いとわかるので”，実用的には合致してみるとよいです。

3. 模型実験

(1) 模型の相似性について

模型を作成する場合、原型ヒル水理学的な相似が問題となります。まず鉛直方向に平均して流速の水平成分 U 、 ∇U についてのみ考えます。流れが重力と粘性力をよって規定されることは、運動方程式は相似的

$$\frac{\partial U}{\partial t} + S U \frac{\partial U}{\partial x} + S V \frac{\partial U}{\partial y} = - \frac{C}{z h} U^2 - g \frac{\partial z}{\partial x} \quad \dots \dots (7)$$

$$\frac{\partial V}{\partial t} + S U \frac{\partial V}{\partial x} + S V \frac{\partial V}{\partial y} = - \frac{C}{z h} V^2 - g \frac{\partial z}{\partial y} \quad \dots \dots (8)$$

を与えられます。ここで t は時間、 x と y とは水平方向の距離、 z は水面昇降量、 h は水深、 C は摩擦係数、 g は重力加速度、 S は流速の鉛直分布に關係して近い係数です。現象が相似であるためには原型と模型に対する(7)、(8)式の各項の比が等しくなければなりませんから、原型に関する量と、模型に関する量の比を添字 r で表わせば、

$$\frac{U_r}{t_r} = S_r \frac{U_r^2}{x_r} = S_r \frac{U_r V_r}{y_r} = C_r \frac{U_r^2}{h_r} = \frac{S_r}{x_r} \quad \dots \dots (9)$$

$$V_r = S_r = 1, \quad x_r = y_r, \quad U_r = U_r, \quad r = h_r \text{ とおき}$$

$$t_r = \frac{x_r}{h_r} \quad \dots \dots (10) \quad C_r = \frac{h_r}{x_r} \quad \dots \dots (11)$$

(10)式は模型の Froude 数をあわせることを意味し、時間と空間の縮尺の関係を示しています。(11)式は粗度の相似を示す。原型に対して添字 p 、模型に対して添字 m をつけます。模型施設の大きさより、図-1に示すように Model Limit を設定し、水平縮尺として

$$\frac{x_m}{x_p} = \frac{1}{x_r} = \frac{1}{2000} \quad \dots \dots (12)$$

をとる。 C とアンシングの粗度とは

$$C = \frac{2g n^2}{R^2}$$

の関係があるために、原型の推定粗度 $m_p = 0.01$ に対し、模型の粗度 $m_m = 0.013$ をとれば、(1) 式より鉛直縮尺

$$\frac{h_m}{h_p} = \frac{1}{m_p} = \frac{1}{200} \quad \cdots \cdots (13)$$

が得られる。模型粗度 $m_m = 0.013$ を得るには底面をモルタル刷毛仕上をすればよい。(16), (13) 式より時間の縮尺は

$$\frac{t_m}{t_p} = \frac{1}{m_p} = \frac{1}{141} \quad \cdots \cdots (14)$$

となる。原型の Reynolds 数は $10^6 \sim 10^7$ で乱流がのに対し、模型は 10^3 の order で、乱流から遷移領域にある。潮流に関する相似性は成立つかず、乱れの微細構造との相似性を保てることは不可能である。 $\delta = z$ 、拡散係数 D は $[L^2 T^{-1}]$ の-dimensional ヨンをもつところから、

$$\frac{D_m}{D_p} = \frac{1}{m_p} = \frac{x_r^2}{t_r} = \frac{1}{2.8 \times 10^4} \quad \cdots \cdots (15)$$

なる関係があるとして、拡散係数を(15)式で補正することができる。

(2) 模型

模型実験は防災研究府宇治川水理実験所で行なわれた。図-5 に示すように、コンクリートブロックで外壁を作り、その内面を防水のためアスファルトライニングし、その中に海底地形をモルタルで作り刷毛化してある。また任意の潮位を与える 3 台起潮機を取りつけ、模型全体を高さ 9 m の天井から超広角レンズで撮影して水の動きを観測した。塗料実験は、溶媒が水であるため、比重を少しだけも低くする目的からメチレンブルーを用い、現地実験と同様の方法により塗料域の拡がりを観測した。模型諸元を表-6 に、それとの写真を写真-1 に示す。

表-6 模型諸元

	縮尺	原型	模型
距離	1/2000	20 km	10 m
水深	1/200	10 m	5 cm
潮流周期	1/200	5 m	2.5 cm
流速	1/141	12.5 ~ 25 m	5 m 17 sec
流量	1/6.66 × 10 ⁶	1 L/s	3.53 cm ³ /sec
拡散係数	1/2.8 × 10 ⁴	2.8 × 10 ⁴ cm ² /sec	0.206 cm ² /sec

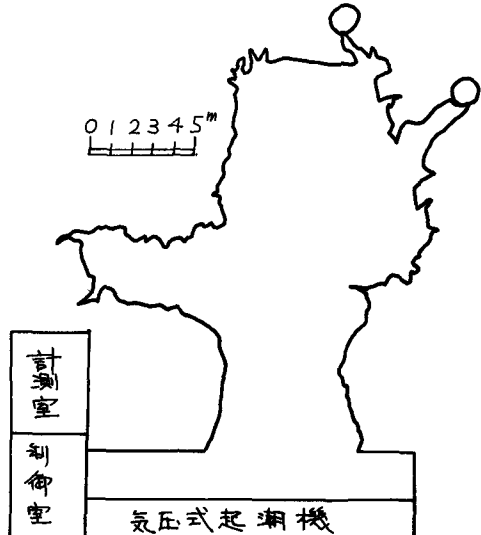


図-5 模型

(3) 結果

実験の結果、模型は潮流、潮流による水粒子の移動距離等の現象は、よく再現する。恒流について、原型の定量的な資料が少ないために比較しきづかず、大体の傾向は再現できる。拡散係数は、塗料域が $z = 100$ m 程度の場合、Scale で補正をして模型の値は原型の約 1/2 程度である。この差

は模型の Reynolds 数が小さくため乱れが十分発達しておらずに思えられ、模型を作ること、適当なスケールで適当な強さの乱れを如何にして得るかが今後の問題点と考えられる。

模型が原型の流況をよく示したもので、埋立地を附加し、水流の変化を観測してみた。その結果、上げ潮と落潮時に右廻りの反流が河口と港の間に生じ、かつ埋立地より汚水の南下が遅くなるので、この附近の汚染物濃度はかなり高くなることが予想される。逆に、汚染物は北方にあまり移動しないようである。河口より北岸一帯の濃度は若干低くなると考えられる。

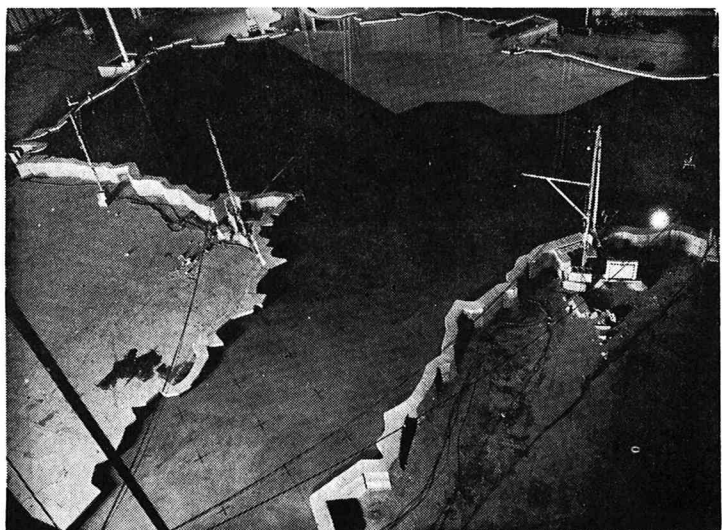
4. 結語

O湾を例として、海面埋立てによる海水汚染状態の変化を模型と現地実測により推定する方法を述べた。色素を海中に投入し、染料域の拡がりを航空写真と採水による比色定量で調査したところ、两者はほぼ同一の拡散係数を与える。一方相似性に注意しつつ模型を作成したところ、潮流、恒流、水塊移動距離など、の流況は、模型によりよく再現できることを知った。拡散係数は模型の Reynolds 数が低いために水の乱れが十分発達せず、模型縮尺による補正をほどこしても、低い値が得られる。今後実験の問題点として解消しなければならない事柄と考えられる。模型に埋立て予定地をつけ加えたところ、定性的に河口南部で汚染が進み、逆に北部では減少するなどを知った。

本実験は、産業公害事前調査の一環として行なわれたものであり、実測に参加された関係機関に謝意を表す。なお、野外実測は岩井、井上が、また模型実験は桶口が主として担当したことを附記する。

参考文献

- 1) 岩井重久、井上頼輝、寺島泰、トレーサーによる河川汚染の解析について、第2回衛生工学研究討論会講演論文集、44頁-63頁、昭和40年11月
- 2) 岩井重久、井上頼輝、トレーサーによる某河川の汚染予知実験、土木学会第21回毎次学術講演会概要集、昭和41年5月
- 3) 岩井重久、井上頼輝、航空写真による汚染物質の拡散の測定と解析、土木学会第21回毎次学術講演会概要集、昭和41年5月
- 4) 井上頼輝、湖面における海面による汚水の拡散の測定、第3回下水道研究発表会概要集、昭和41年6月



写真一 模型